

Edward WILCZYŃSKI

## PRĄD I NAPIĘCIE UKŁADU ELEKTRYCZNEGO : NIELINIOWY REZYSTOR — NIELINIOWA CEWKA W SKOŃCZONYM PRZEDZIALE CZASU

**Streszczenie.** W pracy udowadnia się istnienie rozwiązania przebiegu prądu i napięcia dwójnika elektrycznego, składającego się z szeregowego lub równoległego połączenia nieliniowego rezystora i nieliniowego induktora. Dwójnik zasilany jest ze źródła napięcia lub prądu w skończonym przedziale czasu. Wyprowadza się rozwiązanie postawionego problemu oraz oblicza wybrany przypadek.

## CURRENT AND VOLTAGE OF AN ELECTRIC CIRCUIT: NONLINEAR RESISTOR — NONLINEAR COIL IN A FINITE TIME PERIOD

**Summary.** In this paper there is proved a possible solution of the passage of current and voltage of the electric two-terminal network which consists of a serial or parallel connection of a nonlinear resistor and nonlinear inductor. The two terminal network is supplied from a voltage source or current generator in a finite time period. The solution of the given problem is derived and a selected case is calculated.

### 1. STOSOWANE POJĘCIA

Dwójnik elektryczny wykonano jako równoległe lub szeregowe połączenie nieliniowej rezystancji  $R_N$  i nieliniowej indukcyjności  $L_N$ . Napięcie  $u$ , prąd  $i$ , czas  $t$ , strumień skojarzony  $\psi$  należą do zbiorów ograniczonych odpowiednio  $U, I, T, \Psi$ :  $\square u_0 < U < u_0, \square i_0 < I < i_0,$

$$t_0 < T < t_1, \square \psi_0 < \Psi < \psi_0, u_0, i_0, t_0, t_1, \psi_0 < \infty.$$

Rezystor  $R_N$  jest zdefiniowany funkcją:  $F_R : U \ni u \rightarrow F_R(u) = i \in I$ , która jest odwzorowaniem bijektywnym [2], tzn. istnieje odwzorowanie odwrotne  $F_R^{-1} : I \ni i \rightarrow F_R^{-1}(i) \in U$  (funkcje  $F_R$  i  $F_R^{-1}$  są monotoniczne). Analogicznie zakłada się, że induktor  $L_N$  jest zdefiniowany za pomocą odwzorowania bijektywnego  $F_L : I \ni i \rightarrow F_L(i) = \psi \in \Psi$ . Zakłada się, że krzywe  $i = F_R(u)$ ,  $\psi = F_L(i)$ , leżące w I i III ćwiartce układu współrzędnych, są nieparzyste:

$$F_R(u) = -F_R(-u), F_L(i) = -F_L(-i)$$

oraz należą do klasy  $C^\infty$ ,  $F_R, F_L \in C^\infty$ .

Zakłada się, że funkcje wymuszające (napięcie  $u \in U$  lub prąd  $i \in I$  lub strumień  $\psi \in \Psi$ ) są funkcjami czasu  $u(t)$ ,  $i(t)$ ,  $\psi(t)$  klasy  $C^\infty$ . Innymi słowy funkcje te są analityczne, tzn. są rozwijalne w szeregi potęgowe, czyli że są klasy  $C^\infty$ . Natomiast o regularności funkcji będących rozwiązaniami stawianych problemów (np. o regularności prądu, napięcia lub

strumienia) będą orzekać odpowiednio twierdzenia. Jeżeli np. w układzie szeregowym  $R_N L_N$  jest wymuszony prąd  $i \in C^\infty$ ,  $i \in I$ , to napięcie na zaciskach tego dwójnika  $e \in U$  wynosi:

$$e = F_R^{-1}(i) + \frac{d\psi}{dt}, \quad u_L = \frac{d\psi}{dt} = \frac{d}{dt} F_L(i) = \frac{dF_L}{di} \cdot \frac{di}{dt}, \quad (1)$$

$$L_d(i) = \frac{dF_L}{di} - \text{indukcyjność własna dynamiczna induktora}, \quad (2)$$

$$e \in C^\infty - \text{ze względu na poczynione wcześniej założenia}. \quad (3)$$

Proponowana w pracy metoda wyznaczania prądu i napięcia nieliniowych dwójników opiera się na twierdzeniu Cauchy'ego i Kowalewskiej [1], [3] rozwiązywania równań różniczkowych zwyczajnych pierwszego rzędu i wymaga mocnych założeń regularnościowych badanych funkcji (klasy  $C^\infty$ ). Rozwiązanie problemu konstruuje się w postaci szeregu potęgowego.

Istnieje alternatywna metoda rozwiązywania takich układów, oparta na twierdzeniu Picarda [1], [3], która sprowadza się do rozwiązywania odpowiedniego równania całkowego. Badane funkcje muszą być w tej metodzie co najwyżej ciągłe (klasy  $C^0$ ). Metoda ta nie jest przedmiotem rozważań w tym artykule.

## 2. UKŁAD SZEREGOWY $R_N L_N$

Zakłada się, że w przedziale czasu  $0 < t < \tau$  na zaciskach dwójnika  $R_N L_N$  wymuszono napięcie  $e(t) \in U$ ,  $e \in C^\infty$ . Dwójnik składa się z szeregowego połączenia nieliniowego rezystora  $R_N$  i nieliniowego induktora  $L_N$  zdefiniowanych odpowiednimi charakterystykami w poprzednim punkcie. W chwili  $t = 0$  zakłada się, że przez dwójnik płynie prąd  $i_0$ . Prąd w funkcji czasu  $i(t)$  oblicza się z równania różniczkowego zwyczajnego pierwszego rzędu (1) niejednorodnego. Równanie to można zapisać w postaci normalnej (rozwiązanej względem pochodnej obliczanej funkcji):

$$\frac{di}{dt} = F(i, t), \quad F(i, t) = \frac{e}{L_d(i)} - \frac{F_R^{-1}}{L_d(i)}, \quad L_d(i) = \frac{dF_L}{di}. \quad (4)$$

O istnieniu i jednoznaczności rozwiązania równania różniczkowego (4) orzeka twierdzenie Cauchy'ego i Kowalewskiej [1], [3]. Dla funkcji  $F$  określonej wzorem (4):

$$F: (i, t) \in I \times T \rightarrow F(i, t) \in \Omega,$$

analitycznej w otoczeniu punktu  $(i_0, 0)$ ,  $t = 0$ , istnieje rozwiązanie  $i(t)$  problemu Cauchy'ego:

$$\frac{di}{dt} = F(i, t) \quad (5)$$

$$i(0) = i_0 \quad (6)$$

określone jednoznacznie i analityczne w pewnym otoczeniu  $\Delta$  punktu  $t = 0$ . Funkcja  $i(t)$  ma postać szeregu Maclaurina:

$$i(t) = i(0) + \frac{t}{1!} i'(0) + \frac{t^2}{2!} i''(0) + \frac{t^3}{3!} i'''(0) + \dots + \frac{t^n}{n!} i^{(n)}(0) + \dots, \quad (7)$$

gdzie  $i'(0) = \frac{di}{dt}(t=0)$ ,  $i''(0) = \frac{d^2i}{dt^2}(t=0)$ , itd.

Udowadnia się [1], [3], że szereg (7) posiada niezerowy promień zbieżności  $\rho \in \Delta$ ,  $t \leq \rho$ , w którym istnieje suma (7). Oszacowanie promienia zbieżności nie jest łatwe i stanowi oddzielny problem nie rozpatrywany w tej pracy.

Współczynniki szeregu oblicza się z równania (5):

$$i(0) = i_0 - \text{założona wartość prądu dwójnika w chwili } t = 0, \text{ określona wzorem (6),}$$

$$i'(0) = F(i_0, 0) - \text{wartość funkcji określona wzorami (5), (4),} \quad (8)$$

$$i''(0) = \frac{dF}{dt}(i_0, 0) = \frac{d}{dt} \cdot \frac{1}{L_d} (e - F_R^{-1}) = -\frac{1}{L_d^2} (e - F_R^{-1}) \frac{dL_d}{di} \cdot \frac{di}{dt} + \frac{1}{L_d} \left( \frac{de}{dt} - \frac{dF_R^{-1}}{di} \cdot \frac{di}{dt} \right) \quad \square \text{ wartość}$$

pierwszej pochodnej względem czasu funkcji  $F$  określonej wzorami (4), (5) (9)

(we wzorze (9) występują pochodne  $\frac{di}{dt}(t=0)$ , w miejsce których podstawia się funkcje (8)),

$$i'''(0) = \frac{d^2 F}{dt^2}(i_0, 0), \text{ itd.} \quad (10)$$

(we wzorze (10) będą występować pochodne  $\frac{di}{dt}$  oraz  $\frac{d^2 i}{dt^2}$ , liczone w punkcie  $t = 0$ , w miejsce których wstawia się funkcje (8), (9)).

W wyniku zasilania układu szeregowego  $R_N L_N$  źródłem prądowym uzyskuje się wprost ze wzoru (1) przebieg napięcia  $e$  na zaciskach dwójnika  $R_N L_N$ .

### 3. UKŁAD RÓWNOLEGLY $R_N L_N$

Zakłada się, że w układzie równoległego połączenia nieliniowego rezystora i induktora wymuszono prąd  $i(t)$ ,  $i \in C^\infty$ ,  $i \in I$ . Na podstawie pierwszego prawa Kirchhoffa :

$$i(t) = F_R(e) + i_L(t), \quad 0 < t < \tau. \quad (11)$$

Zależność między prądem a napięciem induktora określa równanie różniczkowe (1):

$$e = \frac{d\psi}{dt} = u_L = \frac{d}{dt} F_L(i_L) = \frac{dF_L}{di_L} \cdot \frac{di_L}{dt} = L_d \frac{di_L}{dt}, \quad L_d = \frac{dF_L}{di_L} = L_d(i_L), \quad (12)$$

gdzie  $i_L$  – prąd cewki.

Po zróżniczkowaniu równania (11) względem czasu i podstawieniu za pochodną  $\frac{di_L}{dt}$  funkcję  $\frac{e}{L_d(i_L)}$ , wyliczoną ze wzoru (12), otrzymuje się:

$$\frac{di}{dt} = \frac{dF_R}{de} \cdot \frac{de}{dt} + \frac{e}{L_d(i_L)}. \quad (13)$$

Pochodna  $\frac{di}{dt}$  jest daną funkcją czasu, pochodna  $\frac{dF_R}{de}$  jest daną funkcją niewiadomego napięcia  $e$ , indukcyjność  $L_d$  jest daną funkcją nieznanego prądu induktora  $i_L$  (wzór (12)). Wynika z tego, że równanie (13) jest skomplikowanym równaniem całkowo-różniczkowym, którego nie da się rozwiązać.

Tylko w przypadku induktora liniowego dla  $L_d = \text{const}$  równanie (13) da się przekształcić do postaci podobnej do równań (5) (21) (poprzez wyliczenie pochodnej  $\frac{de}{dt}$ ):

$$\frac{de}{dt} = F_2(e, t), \quad F_2(e, t) = \frac{1}{\frac{dF_R}{de}} \left( \frac{di}{dt} - \frac{e}{L_d} \right). \quad (14)$$

Założono, że w chwili  $t = 0$  napięcie na dwójniku układu równoległego  $R_N L$  wynosi:

$$e(0) = e_0. \quad (15)$$

Równania (14), (15) są postawieniem identycznego problemu Cauchy'ego jak w przypadku równań (5), (6). Rozwiązaniem równania (14) jest szereg Maclaurina (7):

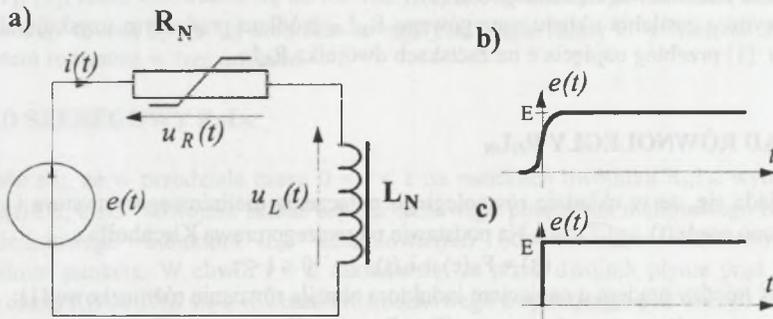
$$e(t) = e_0 + te'(0) + \frac{t^2}{2}e''(0) + \frac{t^3}{6}e'''(0) + \dots, \quad (16)$$

liczony w pewnym otoczeniu  $\Delta$  punktu  $t = 0$  wewnątrz promienia zbieżności  $\rho$ ,  $0 \leq t \leq \rho$ ,  $\rho \in \Delta$ . Pochodne  $e'(0)$ ,  $e''(0)$ ,  $e'''(0)$  itd. są liczone podobnie jak we wzorach (8), (9), (10).

W wyniku zasilania układu równoległego  $R_N L_N$  źródłem napięciowym przebieg prądu, jaki pobiera dwójnik, uzyskuje się wprost.

#### 4. PRZYKŁAD – UKŁAD $R_N L_N$ SZEREGOWY ZASILANY NAPIĘCIEM STAŁYM

Dwójnik elektryczny  $R_N L_N$  przedstawiono na rys. 1.a .



Rys.1. Układ elektryczny  $R_N L_N$

Fig.1. The  $R_N L_N$  electrical system

Dwójnik jest zasilany napięciem  $e(t)$  (rys.1.b), które ma postać funkcji gładkiej ( $e \in C^\infty$ ), bardzo zbliżonej do skoku jednostkowego. Szereg funkcji dokonujący gładkiej aproksymacji skoku jednostkowego można zrealizować na wiele sposobów. W szczególnym przypadku obliczeń równania różniczkowego (4), w którym da się je scałkować i nie ma potrzeby stosowania twierdzenia Cauchy'ego i Kowalewskiej, przyjmuje się za napięcie wymuszające funkcję skoku jednostkowego (rys. 1.c).

Charakterystyka napięciowo-prądowa  $F_R^{-1}(i) = u$  rezystora ma postać:

$$u(i) = \left( 1 - e^{-\frac{i}{i_n}} \right) U_N, \quad (17)$$

gdzie:  $i_n$  – stały prąd „nasyceń”, powyżej którego napięcie już niewiele rośnie,

$U_N$  – stałe napięcie (maksymalna wartość napięcia jaka występuje na rezystorze dla prądu  $i = \infty$ ).

Charakterystyka  $u(i)$  opisana za pomocą funkcji wykładniczej (17) i 2 stałych jest zbliżona do charakterystyki wyładowania łukowego przed efektem jej opadania

$$(R_d = \frac{dU}{di} \geq 0).$$

Induktor opisany jest funkcją  $F_L(i) = \psi$  wynikającą z nieliniowej charakterystyki magnesowania przy zaniedbaniu histerezy (ośrodek bez pamięci). Dla induktora przyjęto podobną funkcję jak dla rezystora:

$$\psi(i) = \left( 1 - e^{-\frac{i}{i_L}} \right) \psi_L, \quad (18)$$

gdzie:  $i_L, \psi_L$  - stałe (prąd, strumień skojarzony) nasycenia.

Szukany jest przebieg prądu  $i(t)$  w układzie rys.1.a, w otoczeniu chwili  $t = 0$ . Równanie (1) przyjmuje postać:

$$e(t) = u_R + u_L, \quad (19)$$

gdzie:

$$u_R(t) = U_N \left( 1 - e^{-\frac{i}{i_n}} \right), \quad u_L(t) = \frac{d\psi}{dt} = L_d \frac{di}{dt}, \quad L_d = \frac{\psi_L}{i_L} e^{-\frac{i}{i_L}}.$$

Równanie (5) przyjmuje postać:

$$\frac{di}{dt} = \left[ e(t) - U_N \left( 1 - e^{-\frac{i}{i_n}} \right) \right] \frac{i_L}{\psi_L} e^{\frac{i}{i_L}}. \quad (20)$$

Przyjęto zerowy warunek początkowy  $i(0) = 0 = i_0$ . Funkcja  $F$  opisana wzorem (5) ma postać:

$$\frac{di}{dt} = F(i, t), \quad F(i, t) = (e(t) - U_N) \frac{i_L}{\psi_L} e^{\frac{i}{i_L}} + \frac{U_N i_L}{\psi_L} e^{\left( \frac{1}{i_L} - \frac{1}{i_n} \right) i}. \quad (21)$$

Funkcje (8), (9), (10) przyjmują wartości:

$$i'(0) = F(i_0) = F(0) = \frac{e(0) i_L}{\psi_L} = a, \quad (22)$$

$$i''(0) = \left( \frac{\partial F}{\partial t} + \frac{\partial F}{\partial i} \cdot \frac{di}{dt} \right) (i_0 = 0, t = 0) =$$

$$= \left\{ \left[ (e(t) - U_N) \frac{1}{\psi_L} e^{\frac{i}{i_L}} + \frac{U_N i_L}{\psi_L} \left( \frac{1}{i_L} - \frac{1}{i_n} \right) e^{\left( \frac{1}{i_L} - \frac{1}{i_n} \right) i} \right] \cdot \left[ (e(t) - U_N) \frac{i_L}{\psi_L} e^{\frac{i}{i_L}} + \frac{U_N i_L}{\psi_L} e^{\left( \frac{1}{i_L} - \frac{1}{i_n} \right) i} \right] + e'(t) \frac{i_L}{\psi_L} e^{\frac{i}{i_L}} \right\} (i = 0, t = 0) = \frac{d^2 i}{dt^2} (t = 0) = \left( \frac{e(0)}{\psi_L} - \frac{U_N}{\psi_L} \cdot \frac{i_L}{i_n} \right) \frac{e(0) i_L}{\psi_L} + e'(0) \frac{i_L}{\psi_L} = 2b, \quad (23)$$

$$\begin{aligned}
 i'''(0) &= \frac{\partial^2 F}{\partial t^2} + 2 \frac{\partial}{\partial i} \left( \frac{\partial F}{\partial t} \right) \frac{di}{dt} + \frac{\partial^2 F}{\partial i^2} \left( \frac{di}{dt} \right)^2 + \frac{\partial F}{\partial i} \cdot \frac{d^2 i}{dt^2} = e''(0) \frac{i_L}{\Psi_L} + 2e^2(0) \frac{i_L}{\Psi_L^2} + \\
 &+ \left( \frac{e(0)}{\Psi_L i_L} - \frac{2U_N}{\Psi_L i_n} + \frac{U_N i_L}{\Psi_L i_n^2} \right) \left( \frac{e(0) i_L}{\Psi_L} \right)^2 + \left( e(0) - U_N \frac{i_L}{i_n} \right)^2 \frac{e(0) i_L}{\Psi_L^3} + \\
 &+ \left( e(0) - U_N \frac{i_L}{i_n} \right) \frac{e'(0) i_L}{\Psi_L^2} = 6c.
 \end{aligned} \quad (24)$$

Funkcja  $i(t)$  w pobliżu punktu  $t = 0$  przyjmuje postać (7) (obliczoną do 3 potęgi czasu t):

$$i(t) = a t + b t^2 + c t^3 \quad (25)$$

(dla stałych  $a, b, c$  opisanych wzorami (22), (23), (24)).

W pewnych przypadkach wartości stałych w równaniu (21) istnieje możliwość jego scałkowania, o ile dodatkowo zastąpi się funkcję gładką  $e(t)$  (rys.1.b) skokiem jednostkowym (rys.1.c). Jest to możliwe, bowiem nie trzeba korzystać z rozwiązania wg twierdzenia Cauchy'ego i Kowalewskiej :

$$\int \frac{di}{F(i)} = \int dt, \quad F(i) = (E - U_N) \frac{i_L}{\Psi_L} e^{\frac{i}{i_L}} + \frac{U_N i_L}{\Psi_L} e^{\left( \frac{1}{i_L} - \frac{1}{i_n} \right) i}. \quad (26)$$

Przykładowo, narzucając na elementy  $R_N, L_N$  warunek  $i_n = i_L$  można scałkować analitycznie równanie (26). Po wykonaniu całkowania otrzymuje się funkcję  $t(i)$ :

$$t(i) = C_0 + \left( \frac{i}{i_n} - \ln \left| 1 + \frac{E - U_N}{U_N} e^{\frac{i}{i_n}} \right| \right) \tau, \quad \tau = \frac{\Psi_L i_n}{U_N i_L} = \frac{\Psi_L}{U_N} \quad (27)$$

lub funkcję odwrotną  $i(t)$ :

$$i = -i_n \ln \left| 1 + \frac{E}{U_N} e^{-\frac{t}{\tau}} - \frac{E}{U_N} \right|. \quad (28)$$

Stałą  $C_0$  (27) oblicza się z warunku początkowego  $t(0) = 0$ . Całkowanie przedstawione wzorem (26) jest elementarne ale dosyć żmudne, dlatego podano tylko wynik całkowania w postaci wzoru (27). Funkcja (28) określona jest w nieskończonym przedziale czasu w odróżnieniu od rozwiązania (25), które jest określone dla niewielkiego promienia  $t < \rho$ . Prąd  $i$  określony wzorem (28) dla czasu  $t = \infty$  ma postać :

$$i(\infty) = -i_n \ln \left| 1 - \frac{E}{U_N} \right|, \quad \frac{E}{U_N} < 1, \quad (29)$$

a wzór (28) ma sens, o ile zachodzi nierówność  $E < U_N$  (prąd  $i$  określony wzorem (28) jest funkcją ograniczoną). Nierówność ta oznacza, że napięcie wymuszające dwójnika  $E$  musi być mniejsze od napięcia  $U_N$  rezystora określonego wzorem (17).

Kształt prądu  $i$  (wzór (28)) jest podobny do przypadku prądu  $i_{RL}$  załączania napięcia stałego  $E$  w gałęzi szeregowej RL elementów liniowych:

$$i_{RL} = \frac{E}{R} \left( 1 - e^{-\frac{t}{\tau}} \right), \quad (30)$$

gdzie  $\tau = \frac{L}{R}$ .

Prąd  $i_{RL}$  w przedziale czasu  $0 < t < \infty$  narasta od wartości zero (tak jak prąd  $i$  z wzoru (28)) do wartości  $i_{RL}(\infty) = \frac{E}{R}$ . Dla  $t = \infty$  prąd ograniczony jest przez wartość rezystancji liniowej (wzór (30)) lub przez nachylenie charakterystyki zewnętrznej rezystancji nieliniowej (wzór (28)).

## 5. PODSUMOWANIE

W artykule udowadnia się, że w wybranym punkcie pracy układu nieliniowego  $R_N L_N$  określa się niezerowe otoczenie  $\Delta$  punktu czasu  $t_0$ , w pobliżu którego istnieje jednoznaczne rozwiązanie przebiegu prądu i napięcia takiego układu. Poprzez sklejanie takich rozwiązań można uzyskać rozwiązanie dla ograniczonego przedziału czasu.

## LITERATURA

1. Gutowski R.: Równania różniczkowe zwyczajne. WNT, Warszawa 1971.
2. Maurin K.: Analiza, cz.I. PWN, Warszawa 1971.
3. Pelczer A., Szarski J.: Wstęp do teorii równań różniczkowych. cz.I, PWN, Warszawa 1987.

Wpłynęło do Redakcji dnia 2 maja 1999 r.

Recenzent: Dr hab. inż. Janusz Walczak  
Profesor Politechniki Śląskiej

## Abstract

In this paper there is proved a possible solution of the pange of current and voltage of the electric two-terminal network, which consists of a serial or parallel connection of a nonlinear resistor and a nonlinear inductor. The suggested method of the solution of electric circuits is based on Cauchy and Kowalska theorem. The solution of the current  $i(t)$  is derived for a serial connection of the nonlinear resistor  $R_N$  and nonlinear coil  $L_N$  at the voltage input, whereas the solution of the voltage  $u(t)$  is derived for a parallel connection of the nonlinear resistor  $R_N$  and linear coil  $L$  at the current input. In a selected case after, introducing certain simplifications we obtain a solution of the current  $i(t)$  of the serial circuit  $R_N L_N$  for the input voltage step function. The solution has been obtained by the integration of the differential equation.